#### Interazioni Elettrodeboli

prof. Francesco Ragusa Università di Milano

Lezione n. 16

24,11,2025

Universalità Decadimento del leptone  $\mu^- o e^- \, \overline{
u}_e \, \nu_\mu$  Decadimento  $\pi^- o l^- \, \overline{
u}_l$  Decadimento  $\tau^- o \pi^- \, \nu_\tau$ 

anno accademico 2025-2026

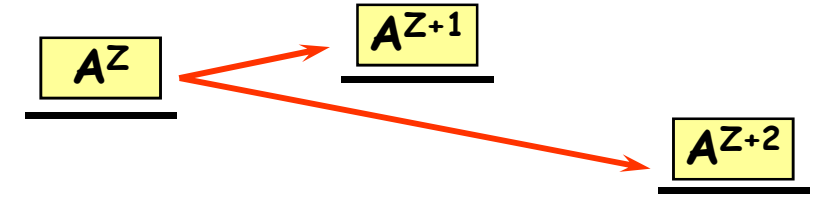
#### Il neutrino

- Abbiamo visto che la forma V-A della interazione implica
  - Che i fermioni siano sempre left-handed
  - Che gli antifermioni siano sempre right-handed
- Dal momento che la massa del neutrino è nulla, una volta prodotto con una data polarizzazione questa sarà mantenuta per sempre
  - ullet La velocità del neutrino è c l'elicità è la stessa in ogni sistema di riferimento
- Inoltre il neutrino interagisce solo per interazione debole e quindi solo se è left-handed
  - È legittimo quindi chiedersi se il neutrino right-handed esista o meno
  - Stesso discorso per l'antineutrino left-handed
- L'equazione di Dirac descrive i fermioni con una funzione a 4 componenti
  - 2 componenti per i due stati di polarizzazione della particella
  - 2 componenti per i due stati di polarizzazione dell'antiparticella
    - Dal momento che il neutrino e l'antineutrino necessitano di un solo stato di polarizzazione, lo spinore di Dirac per il neutrino è ridondante
    - Date le due proiezioni chirali  $u_L$  e  $u_R$  è possibile che  $u_R$  sia l'antineutrino ?
  - In questo caso particella e antiparticella coinciderebbero



#### Il neutrino

- Se il neutrino e l'antineutrino fossero la stessa particella allora dovrebbe esistere la reazione  $Cl^{37}+\overline{\nu}\to A^{37}+e^-$ 
  - Questa transizione è stata cercata utilizzando gli antineutrini prodotti da un reattore
    - La ricerca condotta da Davis ha portato a risultati negativi
- Altre possibilità di verifica sono offerte dal cosiddetto decadimento doppio eta
  - Se esistono 3 stati nucleari isobarici nelle relazioni di massa indicate



Allora non è permesso energeticamente il decadimento

$$A^Z \not\rightarrow A^{Z+1} + e^- + \overline{\nu}$$

 Avviene invece la transizione del secondo ordine (molto rara) in cui due neutroni decadono

$$A^Z \to A^{Z+2} + e^- + \overline{\nu} + e^- + \overline{\nu}$$

#### Il neutrino

- Se però non esistesse distinzione fra il neutrino e l'antineutrino
  - Allora sarebbe possibile la reazione

$$A^{Z} \to A^{Z+1} + e^{-} + \nu$$
  $A^{Z+1} + \nu \to A^{Z+2} + e^{-}$ 

- Lo stato intermedio è virtuale.
- · La reazione completa sarebbe

$$A^Z \to A^{Z+2} + e^- + e^-$$

- Il decadimento con due neutrini è stato osservato
- Il decadimento senza neutrini non è mai stato osservato
  - Il neutrino e l'antineutrino sono pertanto distinti
- ullet Se il decadimento doppio eta venisse osservato occorrerebbe descrivere il neutrino con uno spinore di Maiorana
  - Un formalismo che non distingue fra particelle e antiparticelle
  - Si ottiene con opportune combinazioni di operatori di creazione e distruzione di particelle e antiparticelle



#### Universalità

- Nel 1935 Yukawa predisse l'esistenza di una particella con massa dell'ordine di  $100~{
  m MeV}$  che doveva essere il quanto dell'interazione forte
  - Una particella di massa simile fu scoperta nel 1938 da Neddermeyer e Anderson nello studio dei raggi cosmici
- Nel 1945 Conversi, Pancini e Piccioni giunsero alla conclusione che la particella non poteva essere il quanto della interazione forte
  - Nel 1947 Muirhead, Lattes e Occhialini scoprirono la catena di decadimento

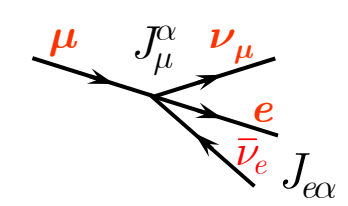
$$\pi \to \mu \to e$$

- Nel 1949 Steinberger scoprì che il muone decade in 3 particelle leggere
  - Oggi sappiamo che

$$\mu^- \to e^- + \nu_\mu + \overline{\nu}_e$$

- Da questo momento in poi nasce l'idea che l'interazione di Fermi possa spiegare molti decadimenti
  - In particolare, il decadimento del muone può essere spiegato con il diagramma
    - Vale a dire in modo analogo al decadimento  $\beta$  tramite l'interazione delle correnti dell'elettrone e del muone

Universalità



#### Universalità

 Occorre pertanto introdurre una corrente per il muone analoga a quella dell'elettrone

$$\hat{J}^{\alpha}\left(e\right) = \overline{\psi}_{e}\gamma^{\alpha}\left(1 - \gamma^{5}\right)\psi_{\nu_{e}} \qquad \qquad \hat{J}^{\alpha}\left(\mu\right) = \overline{\psi}_{\mu}\gamma^{\alpha}\left(1 - \gamma^{5}\right)\psi_{\nu_{\mu}}$$

• La corrente leptonica totale diventa

$$\hat{L}^{\alpha} = \hat{J}^{\alpha}(e) + \hat{J}^{\alpha}(\mu)$$

- Analogamente a quanto già visto la corrente  $J^lpha(\mu)$ 
  - Crea un muone  $oldsymbol{\mu}^-$  o distrugge un antimuone  $oldsymbol{\mu}^+$  con il campo  $\overline{\psi}_{\mu}$
  - Distrugge un neutrino  $oldsymbol{
    u_{\mu}}$  o crea un antineutrino  $\overline{
    u}_{\mu}$  con il campo  $\psi_{
    u_{\mu}}$
- Per descrivere la reazione  $\mu^- \to e^- + \nu_\mu + \overline{\nu}_e$  dobbiamo
  - Distruggere un muone e creare un neutrino
    - Abbiamo bisogno della corrente  $(J^lpha(\mu))^\dagger$
- Possiamo pertanto scrivere l'Hamiltoniana di interazione come

$$\mathcal{H}' = rac{G_{\mu}}{\sqrt{2}} L_{lpha}^{\dagger} L^{lpha}$$

 Gli operatori necessari per l'elemento di matrice vengono automaticamente selezionati dagli stati iniziale e finale (a meno di costanti di normalizzazione e spinori)

$$|i\rangle = |\mu^{-}\rangle = a_{\mu}^{\dagger} |0\rangle \qquad |f\rangle = |e^{-}\nu_{\mu}\overline{\nu}_{e}\rangle = a_{e}^{\dagger}a_{\nu_{\mu}}^{\dagger}b_{\nu_{\varepsilon}}^{\dagger} |0\rangle$$

# Il decadimento del leptone $\mu$

- Il decadimento del muone è descritto dal diagramma
  - La vita media può essere calcolata con le stesse tecniche utilizzate per il calcolo della vita media del neutrone (si può assumere  $m_e=0$ )

$$\Gamma = \frac{1}{\tau_{\mu}} = \frac{G_{\mu}^2 m_{\mu}^5}{192\pi^3}$$

- ullet La misura della vita media del leptone  $\mu$  è molto precisa e permette pertanto una determinazione molto accurata della costante di accoppiamento
  - ullet Per distinguerla da quella ricavata dal decadimento eta la chiamiamo  $G_{\mu}$
- Per poter trarre beneficio della precisione della misura sperimentale occorre tenere conto delle correzioni radiative elettromagnetiche
  - Le correzioni radiative elettromagnetiche sono descritte dai diagrammi



• Tenendo conto di correzioni  $O(\alpha^2)$  e con  $m_e 
eq 0$  si ottiene $^\dagger$ 

$$\frac{1}{\tau_{\mu}} = \frac{G_{\mu}^{2} m_{\mu}^{5}}{192\pi^{3}} f\left(\frac{m_{e}^{2}}{m_{\mu}^{2}}\right) \left[1 + \frac{\alpha\left(m_{\mu}^{2}\right)}{2\pi} \left(\frac{25}{4} - \pi^{2}\right)\right] G_{\mu} = 1.16637 \pm 0.00001 \times 10^{-5} \,\text{GeV}^{-2}$$

$$G_{\beta} = 1.13578 \pm 0.00027 \times 10^{-5} \,\text{GeV}^{-2}$$

$$G_{\mu} = 1.16637 \pm 0.00001 \times 10^{-5} \,\mathrm{GeV}^{-2}$$

$$G_{\beta} = 1.13578 \pm 0.00027 \times 10^{-5} \,\mathrm{GeV^{-2}}$$

- La quasi identità fra  $G_{\mu}$  e  $G_{eta}$  è una forte indicazione che la stessa interazione descrive i decadimenti del neutrone n e del muone  $\mu$
- † Erler, Langacker PDG 2006 J. Phys. G 33 pag. 120

#### Universalità

- Altri processi che possono essere spiegati con estensioni dell'Hamiltoniana del decadimento  $\beta$  che abbiamo studiato
  - Decadimenti e urti completamente leptonici

$$\mu^{-} \to e^{-} + \nu_{\mu} + \overline{\nu}_{e}$$
  $\tau^{-} \to e^{-} + \nu_{\tau} + \overline{\nu}_{e}$   $\nu_{e} + e^{-} \to \nu_{e} + e^{-}$   $\tau^{-} \to \mu^{-} + \nu_{\tau} + \overline{\nu}_{\mu}$ 

• Decadimenti e urti semi-leptonici senza variazione di Stranezza

$$\begin{array}{lll} n \rightarrow p + e^- + \overline{\nu}_e & \pi^- \rightarrow \pi^0 + e^- + \overline{\nu}_e & \pi^- \rightarrow \mu^- + \overline{\nu}_\mu \\ \\ \Sigma^\pm \rightarrow \Lambda + l^\pm + \nu_l & \nu_\mu + N \rightarrow \mu^- + X & \tau^- \rightarrow \pi^- + \nu_\tau \end{array}$$

Decadimenti semi-leptonici con variazione di Stranezza

$$K^- \to \mu^- + \overline{\nu}_{\mu}$$
  $K^- \to \pi^0 + e^- + \overline{\nu}_e$   $\Lambda^0 \to p + e^- + \overline{\nu}_e$ 

• Decadimenti totalmente adronici con variazione di Stranezza

$$\Lambda \to p + \pi^ \Sigma^+ \to p + \pi^0$$
  $K^0 \to \pi^+ + \pi^-$ 

• Tutti questi decadimenti sono stati studiati con successo e hanno confermato la validità della interazione fra le due correnti

#### La corrente adronica

• Nello studio del decadimento beta abbiamo utilizzato l'operatore corrente adronica

 $\hat{J}^{\mu}\left(h\right) = \overline{\hat{\psi}}_{n} \gamma^{\mu} \left(1 - \kappa \gamma^{5}\right) \hat{\psi}_{p}$ 

- Ne abbiamo calcolato l'elemento di matrice fra due stati (il neutrone iniziale e il protone finale)
- Abbiamo inoltre notato che il fattore  $\kappa$  diverso da 1 è dovuto al fatto che gli adroni non sono puntiformi
  - · Pertanto occorre tenere conto dell'interazione forte
- Nello studio delle correnti degli adroni risulta conveniente utilizzare una corrente  $\hat{\mathbf{J}}^{\mu}$  generica (non definita esplicitamente)
  - È un operatore vettoriale (nel senso di Lorentz)
  - Dagli esperimenti abbiamo visto che deve avere una parte vettoriale e una assiale

$$\hat{\mathfrak{I}}^{\mu} = \hat{V}^{\mu} + \hat{A}^{\mu}$$

• Gli esperimenti ci dicono quali regole di selezione deve riprodurre

#### La corrente adronica

- Per il calcolo delle quantità osservabili occorre calcolare l'elemento di matrice dell'operatore fra stati di particelle
  - Ad esempio, nel caso del decadimento  $\beta$  del neutrone si ha

$$\hspace{-0.5cm} \boxed{ \left\langle \left. p, k_p, s_p \; \right| \; \hat{\mathfrak{I}}^{\mu} \; \right| \; n, k_n, s_n \left. \right\rangle = F^{\mu} \left( \left. k_p, s_p, k_n, s_n \right. \right) }$$

- Le funzioni  $F^{\mu}$  sono un insieme di c-numbers (non sono operatori)
- A seconda del tipo di accoppiamento ipotizzato le funzioni  $F^\mu$  hanno uno (o più, o zero) indici di Lorentz
  - In dipendenza dalla natura degli stati (iniziale e finale) le funzioni  $F^\mu$  hanno come argomenti 4-momenti e variabili di spin
- Complessivamente hanno ben precise proprietà di trasformazione per trasformazioni di Lorentz
- Utilizzando le proprietà di invarianza (di Lorentz) e le regole di selezione si può scrivere la forma più generale dell'elemento di matrice e confrontarlo con i dati sperimentali per determinare le parti incognite (ad esempio l'origine del fattore  $\kappa \approx 1.26$ )
- Spieghiamo meglio con un esempio: il decadimento  $\pi^- o l^- 
  u_l$

# Il decadimento $\pi^- ightarrow l^- u_{\scriptscriptstyle I}$

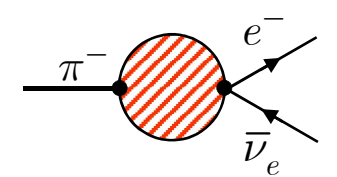
- Il mesone  $\pi$  predetto da Yukawa e scoperto da Neddermeyer e Anderson è l'adrone più leggero
  - Non può decadere tramite interazione forte
  - Decade tramite interazione debole

$$\pi^- \to \mu^- + \overline{\nu}_{\mu}$$

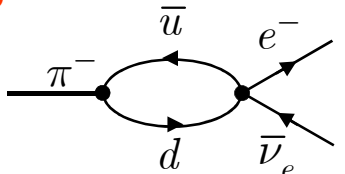
$$\pi^- \rightarrow e^- + \overline{\nu}_e$$

$$\pi^- \rightarrow \mu^- + \overline{\nu}_{\mu} \qquad \qquad \pi^- \rightarrow e^- + \overline{\nu}_e \qquad \qquad \pi^- \rightarrow \pi^0 + e^- + \overline{\nu}_e$$

• Il decadimento è rappresentato schematicamente dal diagramma



Nell'ambito del modello a quark il pione è uno stato legato



- Nel diagramma con i quark
  - Non è nota la struttura dello stato legato
  - I quark interagiscono tramite gluoni (QCD): non trattabile perturbativamente
- Si ipotizza una interazione corrente-corrente fra la corrente leptonica e la generica corrente adronica  $\mathfrak{I}^{\mu}$

$$\mathcal{H}' = \frac{G}{\sqrt{2}} (\mathfrak{I}^{\mu})^{\dagger} L_{\mu}$$

• Lo stato iniziale e lo stato finale sono  $|i
angle=|\pi^angle \quad |f
angle=|l^-\overline{
u}_l
angle$ 

$$|i\rangle = |\pi^-\rangle \qquad |f\rangle = |$$

# Il decadimento $\pi^- ightarrow \it{l}^- \, \overline{ u}_{\it{l}}$

- L'elemento di matrice è  $\left\langle f\mid\mathcal{H}'\mid i\right\rangle = \left\langle l^-\overline{\nu}_l\mid\mathcal{H}'\mid\pi^-\right\rangle$ 
  - Per gli adroni si passa da uno stato con un pione allo stato vuoto
    - Nel caso del decadimento  $\beta$  si passa dal neutrone al protone
  - ullet Per i leptoni, come nel caso del decadimento eta si passa da uno stato vuoto allo stato con due leptoni
- Si può procedere come nel caso del decadimento  $\beta$  per giungere alla seguente espressione per l'ampiezza

$$\mathfrak{M} = \frac{G_{\beta}}{\sqrt{2}} \langle 0 \mid \mathfrak{I}^{\mu}(0) \mid \pi^{-} \rangle \langle l^{-} \overline{\nu}_{l} \mid L_{\mu}(0) \mid 0 \rangle$$

• La parte leptonica è identica a quanto visto per il decadimento eta  $\langle l^-\overline{
u}_l \mid L^{\mu}\left(0\right) \mid 0 \rangle = \overline{u}_l\left(k_l\right) \gamma_{\mu} \left(1-\gamma^5\right) v_{\nu}\left(k_{\nu}\right)$ 

- · Consideriamo la parte adronica
  - Deve essere proporzionale a  $m{p}^{\mu}$ , il 4-momento del pione  $\left\langle 0\mid\mathfrak{I}^{\mu}\left(0\right)\mid\pi^{-}\right
    angle =fp^{\mu}$
  - ullet La costante di proporzionalità f deve essere una funzione invariante
    - Può dipendere solo da quantità invarianti:  $p^2=m^2$
  - Pertanto  $f(p^2)=f_\pi$  è una costante  $\left|\left\langle 0\mid \mathfrak{I}^\mu\left(0
    ight)\mid \pi^-\right.
    ight
    angle =f_\pi p^\mu$

# Il decadimento $\pi^- ightarrow \it{l}^- \ \overline{ u}_{\it{l}}$

$$\left| \left\langle 0 \mid \mathfrak{I}^{\mu} \left( 0 \right) \mid \pi^{-} \right\rangle = f_{\pi} p^{\mu} \right|$$

- Per la conservazione del 4-momento totale abbiamo  $p^{\mu}=k^{\mu}_{l}+k^{\mu}_{
  u}$
- La quantità  $f_\pi$  è una costante che dipende dalla natura del mesone che decade e ha le dimensioni di una energia
- L'elemento di matrice diventa pertanto

$$\boxed{ \mathfrak{M} = \frac{G_{\beta}}{\sqrt{2}} f_{\pi} \overline{u}_{l} \left( k_{l} \right) p^{\mu} \gamma_{\mu} \left( 1 - \gamma^{5} \right) v_{\nu} \left( k_{\nu} \right) }$$
 
$$p^{\mu} \gamma_{\mu} = \not p = \not k_{l} + \not k_{\nu}$$

· Si può ulteriormente semplificare ricordando che

$$(\cancel{k} - m)u = 0$$

$$\overline{u}(\cancel{k} - m) = 0$$

$$\overline{v}(\cancel{k} + m) = 0$$

Pertanto

$$\mathfrak{M} = \frac{G_{\beta}}{\sqrt{2}} f_{\pi} \underbrace{\overline{u_{l}} \left(k_{l}\right) \left(k_{l} + k_{\nu}\right) \left(1 - \gamma^{5}\right) v_{\nu} \left(k_{\nu}\right)}_{\mathbf{k}_{\nu} \mathbf{v}_{\nu} = \mathbf{0}} = \frac{G_{\beta}}{\sqrt{2}} f_{\pi} m_{l} \overline{u_{l}} \left(k_{l}\right) \left(1 - \gamma^{5}\right) v_{\nu} \left(k_{\nu}\right)$$

# Il decadimento $\pi^- ightarrow \it{l}^- \ \overline{ u}_{\it{l}}$

$$\mathfrak{M} = \frac{G_{\beta}}{\sqrt{2}} f_{\pi} m_{l} \overline{u}_{l} \left( k_{l} \right) \left( 1 - \gamma^{5} \right) v_{\nu} \left( k_{\nu} \right)$$

• Il modulo quadrato sommato sulle polarizzazioni dello stato finale si ottiene con le usuali tracce

$$\overline{|\mathfrak{M}|^2} = \frac{G_\beta^2}{2} f_\pi^2 m_l^2 Tr \left[ \left( k_l + m_l \right) \left( 1 - \gamma^5 \right) k_\nu \left( 1 + \gamma^5 \right) \right]$$

· La traccia si calcola facilmente

$$Tr[(k_l + m_l)(1 - \gamma^5)k_{\nu}(1 + \gamma^5)] = Tr[(k_l + m_l)(1 - \gamma^5)^2 k_{\nu}]$$

$$= 2Tr[(k_l + m_l)(1 - \gamma^5)k_{\nu}] = 2Tr[k_l k_{\nu}] = 8k_l \cdot k_{\nu}$$

Si ha inoltre

$$m_\pi^2 = p^2 = \left(k_l + k_
u
ight)^2 = k_l^2 + 2k_l \cdot k_
u + k_
u^2$$
  $k_l \cdot k_
u = \frac{m_\pi^2 - m_l^2}{2}$ 

• In conclusione

$$\overline{|\mathfrak{M}|^2} = 2G_{\beta}^2 f_{\pi}^2 m_l^2 (m_{\pi}^2 - m_l^2)$$

# Il decadimento $\pi^- ightarrow l^- \overline{ u}_l$

$$\overline{|\mathfrak{M}|^2} = 2G_{eta}^2 f_{\pi}^2 m_l^2 \left( m_{\pi}^2 - m_l^2 \right)$$

- Notiamo che l'elemento di matrice è costante, come ci si poteva attendere
- · La larghezza di decadimento è

$$\Gamma = \int \frac{\overline{|\mathfrak{M}|^2}}{2m_{\pi}} d\Phi_2 = \frac{\overline{|\mathfrak{M}|^2}}{2m_{\pi}} \int d\Phi_2$$

 Ricordiamo lo spazio delle fasi per uno stato finale di due particelle nel c.m. del  $\pi$  (vedi diapositiva 277)

$$d\Phi_2 = \frac{1}{(4\pi)^2} \delta \left( W_i - W_f \right) \frac{\left| \mathbf{p}_f \right|}{W_f} dW_f d\Omega \qquad \left| \mathbf{p}_f \right| = \frac{m_\pi^2 - m_l^2}{2m_\pi} \qquad W_f = m_\pi$$

L'integrale è banale

$$\int d\Phi_2 = \frac{1}{(4\pi)^2} \int \delta(W_i - W_f) \frac{|\mathbf{p}_f|}{W_f} dW_f d\Omega = \frac{1}{(4\pi)^2} \int \frac{m_\pi^2 - m_l^2}{2m_\pi} \frac{1}{m_\pi} d\Omega$$

$$\int d\Phi_2 = \frac{1}{4\pi} \frac{m_\pi^2 - m_l^2}{2m_\pi^2}$$
 • Più grande per  $l = e$  • Più piccolo per  $l = \mu$ 

# Il decadimento $\pi^- ightarrow \it{l}^- \ \overline{ u}_{\it{l}}$

• In definitiva otteniamo per la larghezza di decadimento

$$\Gamma = \frac{1}{\tau} = \frac{\overline{|\mathfrak{M}|^2}}{2m_{\pi}} \int d\Phi_2 \qquad \qquad \Gamma = \frac{1}{2m_{\pi}} 2G_{\beta}^2 f_{\pi}^2 m_l^2 \left( m_{\pi}^2 - m_l^2 \right) \frac{1}{4\pi} \frac{m_{\pi}^2 - m_l^2}{2m_{\pi}^2}$$

$$\Gamma = \frac{G_{\beta}^2}{8\pi} f_{\pi}^2 m_l^2 m_{\pi} \left( 1 - \frac{m_l^2}{m_{\pi}^2} \right)^2$$

ullet Il pione decade circa nel 100% dei casi in muone ed ha una vita media

$$\tau = 2.6033 \pm 0.0005 \times 10^{-8} \,\mathrm{s}$$

ullet Da questo valore si può ricavare il parametro fenomenologico $^\dagger$   $f_\pi$ 

$$f_{\pi} = 130.7 \pm 0.1 \,\mathrm{MeV}$$

<sup>†</sup>M. Suzuki, PDG 2006, J. Phys. G 33 pag. 535

# Il decadimento $\pi^- ightarrow l^- \overline{ u}_l$

$$\Gamma = \frac{G_{\beta}^{2}}{8\pi} f_{\pi}^{2} m_{l}^{2} m_{\pi} \left( 1 - \frac{m_{l}^{2}}{m_{\pi}^{2}} \right)^{2}$$

- Il decadimento in elettrone è molto raro
  - La misura della frazione di decadimento dà

$$\frac{\Gamma(\pi \to e\nu)}{\Gamma(\pi \to \mu\nu)} = 1.230 \pm 0.004 \times 10^{-4}$$

Va confrontata con il risultato del nostro calcolo

$$R = \frac{\Gamma(\pi \to e\nu)}{\Gamma(\pi \to \mu\nu)} = \frac{m_e^2 (m_\pi^2 - m_e^2)^2}{m_\mu^2 (m_\pi^2 - m_\mu^2)^2}$$

$$R = 1.283 \times 10^{-4}$$

$$R = 1.283 \times 10^{-4}$$

- Vediamo che il nostro calcolo riproduce "bene" il valore sperimentale
- L'ingrediente chiave è la massa del leptone la cui origine è dovuta all'accoppiamento di tipo vettoriale ( $\gamma^{\mu}$  oppure  $\gamma^{5}\gamma^{\mu}$ )

### Polarizzazione del leptone

• Come nel caso del decadimento  $\beta$  del neutrone è facile calcolare la polarizzazione del leptone carico nel decadimento del pione

$$\overline{\left|\mathfrak{M}_{RL}\right|^{2}} = \frac{G_{\beta}^{2}}{2} f_{\pi}^{2} m_{l}^{2} Tr \left[ \left( k_{l} + m_{l} \right) \frac{1 \pm \gamma^{5} k_{R}}{2} \left( 1 - \gamma^{5} \right) k_{\nu} \left( 1 + \gamma^{5} \right) \right]$$

Otteniamo pertanto

$$\overline{\left|\overline{\mathfrak{M}_{R}}\right|^{2}}-\overline{\left|\overline{\mathfrak{M}_{L}}\right|^{2}}=\frac{G_{\beta}^{2}}{2}\mathit{f}_{\pi}^{2}\mathit{m}_{l}^{2}\mathit{Tr}\big[\left(\mathit{k}_{l}^{\prime}+\mathit{m}_{l}^{\prime}\right)\gamma^{5}\mathit{s}_{R}^{\prime}\left(1-\gamma^{5}^{\prime}\right)\mathit{k}_{\nu}^{\prime}\left(1+\gamma^{5}^{\prime}\right)\big]$$

Si verifica facilmente che

$$Tr\left[\left(k_l + m_l\right)\gamma^5 k_R \left(1 - \gamma^5\right) k_\nu \left(1 + \gamma^5\right)\right] = 8m_l s_R \cdot k_\nu$$

- Il vettore di polarizzazione longitudinale del leptone è
  - Dalla cinematica si ottiene facilmente

$$\left|\mathbf{k}_{l}\right| = \frac{m_{\pi}^{2} - m_{l}^{2}}{2m_{\pi}} \qquad E_{l} = \frac{m_{\pi}^{2} + m_{l}^{2}}{2m_{\pi}} \qquad k_{\nu} = \left(\left|\mathbf{k}_{l}\right|, -\mathbf{k}_{l}\right) \qquad k_{\nu} \cdot s_{R} = \frac{\left|\mathbf{k}_{l}\right|^{2}}{m_{l}} \left(1 + \frac{E_{l}}{\left|\mathbf{k}_{l}\right|}\right)$$

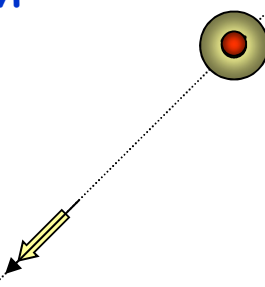
- $\overline{|\mathfrak{M}_R|^2}+\overline{|\mathfrak{M}_L|^2}=\overline{|\mathfrak{M}|^2}=2G_{eta}^2f_{\pi}^2m_l^2\left(m_{\pi}^2-m_l^2
  ight)$  Ricordiamo
  - In definitiva

$$\frac{\overline{\left| \mathfrak{M}_R \right|^2} - \overline{\left| \mathfrak{M}_L \right|^2}}{\overline{\left| \mathfrak{M}_R \right|^2} + \overline{\left| \mathfrak{M}_L \right|^2}} = \frac{2 \mathbf{k}_l^2}{m_\pi^2 - m_l^2} \bigg( 1 + \frac{E_l}{\left| \mathbf{k}_l \right|} \bigg) \\ = 2 \frac{\left( m_\pi^2 - m_l^2 \right)^2}{4 m_\pi^2 \left( m_\pi^2 - m_l^2 \right)} \frac{2 m_\pi^2}{m_\pi^2 - m_l^2} \\ = 1$$

 $s_R = \left(\frac{\left|\mathbf{k}_l\right|}{m_i}, \frac{E_l}{m_i} \frac{\mathbf{k}_l}{\left|\mathbf{k}_l\right|}\right)$ 

# Polarizzazione del leptone

- Il risultato precedente mostra che nel sistema di riposo del pione il leptone è polarizzato al 100% nella sua direzione di moto
  - La polarizzazione non è  $-\beta$
- Questo risultato era prevedibile per i seguenti motivi
  - Il pione ha spin O
  - L'antineutrino è right-handed
  - Per la conservazione del momento angolare anche il leptone carico è right-handed



• Questo spiega qualitativamente perché il decadimento in elettrone è molto più raro nonostante dovrebbe essere favorito per lo spazio delle fasi

$$\int d\Phi_2 = \frac{1}{4\pi} \frac{m_\pi^2 - m_l^2}{2m_\pi^2} \qquad \int d\Phi_2 = 0.04 \qquad e^- \qquad \int d\Phi_2 = 0.017 \qquad \mu^-$$

- La conservazione del momento angolare obbliga il leptone a essere emesso con la polarizzazione "sbagliata" (rispetto a quella imposta dalla corrente V-A)
  - Per l'elettrone (che è molto più leggero e che ha un eta pprox 1) ciò è molto più difficile (probabilità 1-eta)
- Se il leptone avesse massa nulla il decadimento avrebbe larghezza nulla

## Il decadimento del leptone $au\colon au^- o \pi^- \, u_{ au}$

- Mostriamo come il formalismo fin qui sviluppato può essere utilizzato anche per il calcolo della frazione di decadimento del leptone au nel mesone  $\pi$ 
  - Osserviamo prima di tutto che per il calcolo della vita media o della larghezza totale occorrerebbe calcolare tutte le larghezze parziali

$$\tau^- \rightarrow l^- + \overline{\nu}_l + \nu_\tau \qquad \tau^- \rightarrow h^- + \nu_\tau \qquad h = \pi, K, \rho, a_1 \qquad \tau^- \rightarrow (n\pi)^- + \nu_\tau \quad .....$$

- $\Gamma = \Gamma_{e \nu \nu} + \Gamma_{\mu \nu \nu} + \Gamma_{\pi \nu} + \ldots + \Gamma_{K \nu}$  Troppo lavoro ....
- Calcoliamo solo la larghezza del decadimento in  $\pi^-\,\nu_{ au}$  e confrontiamola con la larghezza totale
- · La larghezza totale può essere derivata dalla vita media
  - Dal risultato sperimentale  $au = 290.6 imes 10^{-15} \; ext{s}$  ricaviamo

$$\Gamma(\tau \to all) = \frac{\hbar}{\tau} = \frac{6.582 \times 10^{-22} \text{ MeV s}}{290.6 \times 10^{-15} \text{ s}}$$

$$\Gamma(\tau \to all) = 2.265 \times 10^{-3} \text{ eV}$$

- Calcoliamo adesso la larghezza del decadimento  $\pi^- \, 
  u_{ au}$ 
  - Il calcolo è identico a quello fatto per il decadimento del pione
  - Si utilizza l'Hamiltoniana

$$\mathcal{H}' = \frac{G}{\sqrt{2}} (\mathfrak{I}^{\mu})^{\dagger} J_{\mu}$$

## Il decadimento del leptone $au\colon au^- o \pi^- \, u_{ au}$

- ullet La corrente leptonica  $J^\mu$  adesso contiene anche un termine per il leptone au
  - Lo stato iniziale e lo stato finale sono rispettivamente

$$|\tau^-\rangle$$
  $|\pi^-\nu_{\tau}\rangle$ 

- Notiamo in particolare che per quel che riguarda gli adroni si passa dallo stato vuoto allo stato con un pione
  - · La situazione opposta a quella del decadimento del pione
- Scriviamo pertanto l'ampiezza di decadimento

$$\mathfrak{M} = \frac{G_{\beta}}{\sqrt{2}} \langle \pi^{-} \mid \mathfrak{I}^{\mu}(0) \mid 0 \rangle \langle \nu_{\tau} \mid J_{\mu}(0) \mid \tau^{-} \rangle$$

- L'elemento di matrice della parte adronica è il complesso coniugato di quello che avevamo nel decadimento del pione
  - Dato che era reale sono uguali

$$\left| \left\langle \pi^{-} \mid \mathfrak{I}^{\mu} \left( 0 \right) \mid 0 \right\rangle = f_{\pi} q^{\mu} \right|$$

• Il 4-vettore  $q^\mu$  è il momento del pione  $q^\mu=k_ au^\mu-k_
u^\mu$ 

## Il decadimento del leptone $au\colon au^- o \pi^-\, u_ au$

· L'elemento di matrice della parte leptonica è

$$\langle \nu_{\tau} \mid J^{\mu}(0) \mid \tau^{-} \rangle = \overline{u}_{\nu}(k_{\nu}) \gamma_{\mu} (1 - \gamma^{5}) u_{\tau}(k_{\tau})$$

• Per finire l'ampiezza è

$$\mathfrak{M} = \frac{G_{\beta}}{\sqrt{2}} f_{\pi} \overline{u}_{\nu} (k_{\nu}) q^{\mu} \gamma_{\mu} (1 - \gamma^{5}) u_{\tau} (k_{\tau})$$

• Sostituendo  $q^\mu = k_{\scriptscriptstyle T}^\mu - k_{\scriptscriptstyle {\scriptscriptstyle {\cal V}}}^\mu$ 

$$\mathfrak{M} = \frac{G_{\beta}}{\sqrt{2}} f_{\pi} \overline{u}_{\nu} (k_{\nu}) (k_{\tau} - k_{\nu}) (1 - \gamma^{5}) u_{\tau} (k_{\tau}) = \frac{G_{\beta}}{\sqrt{2}} f_{\pi} m_{\tau} \overline{u}_{\nu} (k_{\nu}) (1 + \gamma^{5}) u_{\tau} (k_{\tau})$$

Con la solita tecnica troviamo

$$\begin{split} \overline{|\mathfrak{M}|^2} &= \frac{G_{\beta}^2}{2} f_{\pi}^2 m_{\tau}^2 Tr \big[ \big( \not k_{\nu} \big) \big( 1 + \gamma^5 \big) \big( \not k_{\tau} + m_{\tau} \big) \big( 1 - \gamma^5 \big) \big] \\ &= G_{\beta}^2 f_{\pi}^2 m_{\tau}^2 Tr \big[ \big( \not k_{\nu} \big) \big( \not k_{\tau} + m_{\tau} \big) \big( 1 - \gamma^5 \big) \big] = G_{\beta}^2 f_{\pi}^2 m_{\tau}^2 Tr \big[ \not k_{\nu} \not k_{\tau} \big] = 4 G_{\beta}^2 f_{\pi}^2 m_{\tau}^2 k_{\nu} \cdot k_{\tau} \end{split}$$

Dalla cinematica otteniamo

$$k_{\tau} \cdot k_{\nu} = \frac{m_{\tau}^2 - m_{\pi}^2}{2}$$
 
$$\int d\Phi_2 = \frac{1}{4\pi} \frac{m_{\tau}^2 - m_{\pi}^2}{2m_{\tau}^2}$$

# Il decadimento del leptone $au\colon au^- o \pi^-\, u_ au$

• Mettendo insieme i vari pezzi otteniamo

$$\Gamma = \frac{1}{\tau} = \frac{\frac{1}{2} |\overline{\mathfrak{M}}|^2}{2m_\tau} \int d\Phi_2 \qquad \qquad \Gamma = \frac{1}{4m_\tau} 4G_\beta^2 f_\pi^2 m_\tau^2 \frac{m_\tau^2 - m_\pi^2}{2} \frac{1}{4\pi} \frac{m_\tau^2 - m_\pi^2}{2m_\tau^2}$$
 media sulle polarizzazioni iniziali 
$$\Gamma(\tau \to \pi \nu) = \frac{1}{16\pi} G_\beta^2 f_\pi^2 m_\tau^3 \left(1 - \frac{m_\pi^2}{m_\tau^2}\right)^2$$

- Notiamo il fattore  $\frac{1}{2}$  introdotto prima dell'elemento di matrice
  - Questa volta il leptone è nello stato iniziale
  - Bisogna mediare statisticamente fra le due polarizzazioni possibili
- Introduciamo i valori delle costanti e delle masse

$$G_{\beta} = 1.13578 \pm 0.00027 \times 10^{-5} \,\mathrm{GeV^{-2}}$$
  $m_{\pi} = 139.57018 \pm 0.00035 \,\mathrm{MeV}$   $f_{\pi} = 130.7 \pm 0.1 \,\mathrm{MeV}$   $m_{\tau} = 1776.99 \pm 0.29 \,\mathrm{MeV}$ 

Otteniamo

$$\Gamma(\tau \to \pi \nu) = 2.43 \times 10^{-4} \text{eV}$$

# Il decadimento del leptone $au\colon au^- o \pi^-\, u_{ au}$

Ricordando la larghezza totale ottenuta dalla vita media

$$\Gamma(\tau \to all) = 2.265 \times 10^{-3} \text{ eV}$$

Otteniamo la frazione di decadimento

$$\frac{\Gamma(\tau \to \pi \nu)}{\Gamma(\tau \to all)} = \frac{2.43 \times 10^{-4}}{2.265 \times 10^{-3}} = 10.7\%$$

Da confrontare con il valore sperimentale

$$\frac{\Gamma(\tau \to \pi \nu)}{\Gamma(\tau \to all)} = 11.06 \pm 0.11\%$$

· Ancora una volta, un ottimo accordo per un calcolo al primo ordine

### Polarizzazione del leptone au

• Calcoliamo adesso la larghezza di decadimento nel caso in cui il leptone au sia polarizzato. L'ampiezza mediata

$$\overline{|\mathfrak{M}|^2} = \frac{G_\beta^2}{2} f_\pi^2 m_\tau^2 Tr \left[ \left( k_\nu \right) \left( 1 + \gamma^5 \right) \left( k_\tau + m_\tau \right) \left( 1 - \gamma^5 \right) \right]$$

Viene sostituita con l'espressione

$$\begin{split} \overline{\left|\mathfrak{M}_{RL}\right|^{2}} &= \frac{G_{\beta}^{2}}{2} f_{\pi}^{2} m_{\tau}^{2} Tr \left[ \not k_{\nu} \left( 1 + \gamma^{5} \right) \left( \not k_{\tau} + m_{\tau} \right) \frac{1 \pm \gamma^{5} \not s_{R}}{2} \left( 1 - \gamma^{5} \right) \right] \\ \overline{\left|\mathfrak{M}_{R}\right|^{2}} &= \frac{1}{2} G_{\beta}^{2} f_{\pi}^{2} m_{\tau}^{2} Tr \left[ \not k_{\nu} \left( \not k_{\tau} + m_{\tau} \right) \left( 1 + \gamma^{5} \not s_{R} \right) \left( 1 - \gamma^{5} \right) \right] \\ &= 2 G_{\beta}^{2} f_{\pi}^{2} m_{\tau}^{2} \left( k_{\tau} \cdot k_{\nu} + m_{\tau} s_{R} \cdot k_{\nu} \right) \end{split}$$

· Adesso mettiamoci nel sistema di riposo del leptone

$$s_R = (0, \boldsymbol{\xi})$$

$$\begin{split} \left|\mathfrak{M}_{R}\right|^{2} &= 2G_{\beta}^{2}f_{\pi}^{2}m_{\tau}^{2}\left(m_{\tau}E_{\nu}-m_{\tau}\mathbf{\xi}\cdot\mathbf{k}_{\nu}\right) = 2G_{\beta}^{2}f_{\pi}^{2}m_{\tau}^{2}\left(m_{\tau}E_{\nu}-m_{\tau}E_{\nu}\mathbf{\xi}\cdot\hat{\mathbf{k}}_{\nu}\right) \\ &= 2G_{\beta}^{2}f_{\pi}^{2}m_{\tau}^{3}E_{\nu}\left(1+\mathbf{\xi}\cdot\hat{\mathbf{k}}_{\pi}\right) \\ &\left|\left|\mathfrak{M}_{RL}\right|^{2} = 2G_{\beta}^{2}f_{\pi}^{2}m_{\tau}^{3}E_{\nu}\left(1\pm\mathbf{\xi}\cdot\hat{\mathbf{k}}_{\pi}\right)\right| \\ &\left|\left|\mathfrak{k}_{\nu}\right| = \frac{m_{\tau}^{2}-m_{\pi}^{2}}{2m_{\tau}}\right| \end{split}$$

## Polarizzazione del leptone au

- Si ottiene infine la distribuzione angolare dei pioni nel sistema di riposo del leptone au  $\frac{dN_{RL}}{d\Omega} = \frac{\Gamma_{RL}}{\Gamma_{R} + \Gamma_{L}}$ 
  - Nel rapporto i termini costanti dello spazio delle fasi si elidono e pertanto possiamo semplicemente fare il rapporto fra i quadrati delle ampiezze

$$\frac{dN_{RL}}{d\cos\theta^*} = \frac{\overline{\left|\mathfrak{M}_{RL}\right|^2}}{\overline{\left|\mathfrak{M}_{R}\right|^2} + \overline{\left|\mathfrak{M}_{L}\right|^2}} \qquad \frac{dN_{RL}}{d\cos\theta^*} = \frac{1}{2} \left(1 \pm \mathbf{\xi} \cdot \hat{\mathbf{k}}_{\pi}\right)$$

$$\frac{dN_{RL}}{d\cos\theta^*} = \frac{1}{2} (1 \pm |\mathbf{\xi}| \cos\theta^*)$$

• Osserviamo infine che il segno di fronte al prodotto  $\xi \cdot k_{\nu}$  dipende dal segno della massa nell'espressione

$$\overline{|\mathfrak{M}_{R}|^{2}} = \frac{1}{2} G_{\beta}^{2} f_{\pi}^{2} m_{\tau}^{2} Tr \left[ k_{\nu} \left( k_{\tau} + m_{\tau} \right) \left( 1 + \gamma^{5} _{R} \right) \left( 1 - \gamma^{5} \right) \right] = 2 G_{\beta}^{2} f_{\pi}^{2} m_{\tau}^{2} \left( k_{\tau} \cdot k_{\nu} + m_{\tau} s_{R} \cdot k_{\nu} \right) \left( 1 + \gamma^{5} _{R} \right) \left( 1 - \gamma^{5} \right)$$

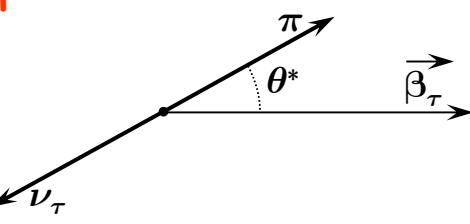
- La massa compare con questo segno perché nell'ampiezza era presente lo spinore u del  $au^-$  (particella)
- Se invece ci fosse stato un  $au^+$  (antiparticella) allora ci sarebbe stato uno spinore v e quindi una massa con il segno opposto

## La misura della polarizzazione del au

- A LEP coppie di leptoni  $\tau$  sono prodotti nelle collisioni  $e^+$   $e^-$  all'energia del centro di massa pari a  $M_Z$ 
  - ullet I due leptoni hanno momento opposto (uguale in modulo) e energia  $E=M_Z/2$
  - I leptoni sono prodotti con una polarizzazione  $\wp$  che dipende dagli accoppiamenti della  $Z^0$  ai leptoni (lo vedremo)
    - Dalla misura della polarizzazione si possono misurare gli accoppiamenti
- Nel sistema di riposo del leptone  $\tau$ , il  $\pi$  e il neutrino sono prodotti ad un angolo  $\theta^*$  rispetto alla direzione di volo del  $\tau$

• Nel piano contenente i due mesoni e la direzione di volo del au

•



• Il momento e l'energia del pione sono

$$|\mathbf{k}_{\pi}^{*}| = \frac{m_{\tau}^{2} - m_{\pi}^{2}}{2m_{\tau}}$$
  $E_{\pi}^{*} = \frac{m_{\tau}^{2} + m_{\pi}^{2}}{2m_{\tau}}$ 

464

### La misura della polarizzazione del au

• La massa del au è  $m_{ au}=1776.99~{
m MeV}$  e per i nostri scopi è possibile approssimare a zero la massa del pione

$$E_{\pi}^* = |\mathbf{k}_{\pi}^*| = \frac{m_{\tau}}{2}$$

• Nel laboratorio, l'energia di un pione emesso ad un angolo  $heta^*$  nel c.m. è

$$E_{\pi} = \gamma E_{\pi}^* + \gamma \beta \left| \mathbf{k}_{\pi}^* \right| \cos \theta^*$$

•  $\gamma$  e  $\beta$  sono i fattori relativistici del leptone au

$$\gamma pprox rac{M_Z}{2m_{ au}} \qquad eta pprox 1$$

· L'energia del pione è pertanto

$$E_{\pi} = \gamma E_{\pi}^* (1 + \cos \theta^*) = \frac{M_Z}{2} \frac{1 + \cos \theta^*}{2}$$

- Al variare di  $\cos heta^*$  l'energia del pione nel sistema di laboratorio varia fra
  - Il valore massimo  $M_Z/2$  che si raggiunge per  $\cos heta^* = 1$
  - il valore minimo 0 che si raggiunge per  $\cos \theta^* = -1$ 
    - Se non si trascura la massa del leptone l'intervallo è ridotto

# La misura della polarizzazione del au

• Abbiamo visto che nel sistema di riposo del au l'angolo di emissione del pione ha una distribuzione

$$\frac{dN_{RL}}{d\cos\theta^*} = \frac{1}{2} \left( 1 \pm \mathbf{\xi} \cdot \widehat{\mathbf{k}}_{\pi} \right)$$

Nel sistema di laboratorio avremo pertanto

$$\frac{dN}{d\cos\theta^*} = \frac{dN}{dE} \frac{dE}{d\cos\theta^*}$$

$$\frac{dN}{d\cos\theta^*} = \frac{dN}{dE} \frac{dE}{d\cos\theta^*} \qquad \qquad \frac{dN}{dE} = \frac{1}{\frac{dE}{d\cos\theta^*}} \frac{dN}{d\cos\theta^*}$$

• Dai calcoli cinematici precedenti

$$E_\pi = \frac{M_Z}{2} \frac{1 + \cos \theta^*}{2} \to \frac{dE_\pi}{d\cos \theta^*} = \frac{M_Z}{4} \qquad \text{e inoltre} \qquad \cos \theta^* = \frac{4E_\pi}{M_Z} - 1$$

$$\cos \theta^* = \frac{4E_\pi}{M_Z} - 1$$

• Mettendo insieme i vari pezzi

$$\frac{dN_{RL}}{dE} = \frac{4}{M_Z} \frac{1 \pm \cos \theta^*}{2} \qquad \text{Introduciamo la variabile} \qquad x = \frac{2E_\pi}{M_Z} \qquad \qquad \cos \theta^* = 2x - 1$$

$$x = \frac{2E_{\pi}}{M_Z}$$

$$\cos \theta^* = 2x - 1$$

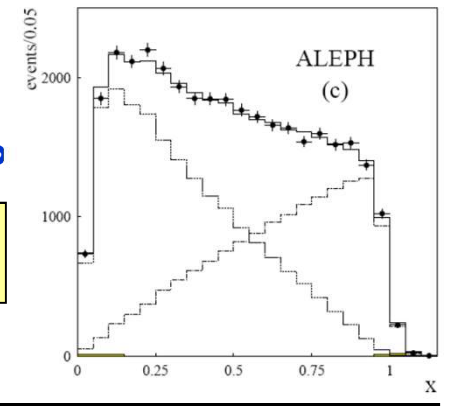
Si ottiene

$$\frac{dN_L}{dx} = 1 - \cos\theta^* = 2(1-x)$$



La misura fatta a LEP

$$\wp = -15.49 \pm 1.01\%$$



$$\frac{dN_R}{dx} = 1 + \cos\theta^* = 2x$$

#### Decadimenti deboli

- Abbiamo visto che l'interazione di Fermi (interazione corrente-corrente) può essere utilizzata con successo per descrivere i decadimenti deboli (vedi 446)
- · Assumendo l'universalità l'Hamiltoniana può essere scritta come

$$\mathcal{H}'(x) = \frac{G}{\sqrt{2}} \mathcal{J}^{\dagger \alpha}(x) \mathcal{J}_{\alpha}(x) \qquad \boxed{G \equiv G_{\mu}}$$

- La corrente  $\mathcal{J}^{lpha}(x)$  è fatta da due pezzi:  $\mathcal{J}^{lpha}(x)=l^{lpha}(x)+h^{lpha}(x)$ 
  - La corrente leptonica  $l^{lpha}(x)$  contiene i campi delle tre famiglie di leptoni

$$l^{\dagger\alpha}\left(x\right)=\overline{\psi}_{e}\gamma^{\alpha}\left(1-\gamma^{5}\right)\psi_{\nu_{e}}+\overline{\psi}_{\mu}\gamma^{\alpha}\left(1-\gamma^{5}\right)\psi_{\nu_{\mu}}+\overline{\psi}_{\tau}\gamma^{\alpha}\left(1-\gamma^{5}\right)\psi_{\nu_{\tau}}$$

- I leptoni sono soggetti solo all'interazione elettrodebole e la loro descrizione mediante campi liberi di Dirac è adeguata
- Notiamo che la presenza nell'Hamiltoniana sia della corrente  ${\cal J}$  che della corrente  ${\cal J}^\dagger$  permette di descrivere processi "coniugati"
  - Ad esempio

$$\mu^- \to \nu_\mu \, e^- \, \overline{\nu}_e \qquad \text{richiede i campi} \qquad \psi_\mu \quad \overline{\psi}_{\nu_\mu} \quad \overline{l}^{\dagger \alpha} \qquad \qquad \overline{\psi}_e \quad \psi_{\nu_e} \quad \overline{l}^{\alpha} \\ \\ \mu^+ \to \overline{\nu}_\mu \, e^+ \, \nu_e \qquad \text{richiede i campi} \qquad \overline{\psi}_\mu \quad \psi_{\nu_\mu} \quad \overline{l}^{\alpha} \qquad \qquad \psi_e \quad \overline{\psi}_{\nu_e} \quad \overline{l}^{\dagger \alpha} \\ \\ \end{array}$$

#### La corrente adronica

- La corrente adronica  $h^{\alpha}(x)$  è più complicata
  - Non può essere scritta in termini di campi liberi
  - Deve descrivere fenomeni per un gran numero di decadimenti di adroni
    - ullet Decadimenti di bosoni ad esempio decadimento dei mesoni  $\pi$  o K
    - Decadimenti di fermioni, ad esempio del neutrone n o della  $\Lambda$
- Nel seguito dedurremo alcune proprietà e parametrizzazioni della corrente adronica utilizzando le sue simmetrie dedotte dai dati sperimentali
- Innanzitutto ricordiamo che l'interazione debole viola la parità
  - La corrente è la somma di due termini:  $h^{lpha}(x) = \mathcal{V}^{lpha}(x) \mathcal{A}^{lpha}(x)$ 
    - Una componente vettoriale-polare  $\mathcal{V}^{lpha}(x)$
    - Una componente vettoriale-assiale  $\mathcal{A}^{lpha}(x)$
- Inoltre i decadimenti deboli adronici sono classificabili in due grandi famiglie
  - ullet Decadimenti adronici senza violazione di stranezza per i quali  $\Delta S=0$ 
    - Ad esempio i decadimenti

$$n \to p \, e^- \, \overline{\nu}_e \qquad \pi^- \to \pi^0 e^- \, \overline{\nu}_e \qquad \pi^- \to \mu^- \, \overline{\nu}_\mu$$

- Decadimenti adronici con violazione di stranezza per i quali  $\Delta S 
  eq 0$ 
  - Ad esempio i decadimenti

$$\Lambda^0 \to p \, \pi^- \qquad \Sigma^- \to n \, e^- \, \overline{\nu}_e \qquad K^- \to \pi^0 \, e^- \, \overline{\nu}_e \qquad K^- \to \mu^- \, \overline{\nu}_\mu \qquad \Xi^- \to \Lambda^0 \, \pi^-$$

#### La corrente adronica

- La corrente adronica contiene pertanto
  - Un termine che conserva la stranezza

$$h^{\alpha}_{\Lambda S=0} \equiv J^{\dagger \alpha}$$

- Un termine che viola la conservazione della stranezza  $h^lpha_{\Lambda S 
  eq 0} \equiv S^{\dagger lpha}$
- Studiamo le proprietà della corrente  $J^{\dagger\,lpha}$ , la parte  ${f \Delta}S={f 0}$
- I processi deboli studiati fino ad ora hanno tutti la proprietà che la carica elettrica dello stato adronico (o leptonico) cambia di una unità:  $\Delta Q = \pm 1$ 
  - Questa proprietà fissa una regola di commutazione fra la corrente  $J^{lpha}$  e l'operatore carica elettrica Q

$$\left[\widehat{Q},J^{\dagger\,\alpha}\,\right] = +J^{\dagger\,\alpha} \qquad \left[\widehat{Q},J^{\alpha}\,\right] = -J^{\alpha}$$

- Infatti dati due stati |i> e |f>  $\widehat{Q}|i\rangle=q_i|i\rangle$   $\widehat{Q}|f\rangle=q_f|f\rangle$ 
  - Verifichiamo che la regola di commutazione implica che  $\Delta Q=\pm 1$

$$\left\langle f\mid J^{\dagger\,\alpha}\mid i\right\rangle \,=\left\langle f\mid \left[\widehat{Q},J^{\dagger\,\alpha}\right]\mid i\right\rangle \,=\left\langle f\mid \widehat{Q}J^{\dagger\,\alpha}-J^{\dagger\,\alpha}\widehat{Q}\mid i\right\rangle \,=\left(q_f-q_i\right)\!\left\langle f\mid J^{\dagger\,\alpha}\mid i\right\rangle$$

- Pertanto, se l'elemento di matrice è diverso da zero  $\Delta Q = q_f q_i = +1$
- Analogamente per la corrente  $J^{lpha}$  abbiamo

$$\Delta Q = q_f - q_i = -1$$

• Pertanto le interazioni deboli (correnti cariche) hanno la regola di selezione

$$|\Delta Q| = 1$$

### Proprietà isotopiche della corrente adronica

- Sappiamo che l'isospin è una simmetria delle interazioni forti
  - Ad esempio per nucleoni e pioni se si trascurano le differenze di massa
- Anche se l'interazione debole viola la conservazione dell'isospin tuttavia lo utilizziamo per descrivere gli stati adronici iniziali e finali
- Introduciamo pertanto il formalismo dell'isospin per i campi del protone e del neutrone (assumendo che abbiano la stessa massa m)
  - Se utilizziamo il formalismo dell'isospin il protone e il neutrone sono un'unica particella di Isospin  $T=\frac{1}{2}$  con due stati caratterizzati da  $T_3=\pm\frac{1}{2}$
- Introduciamo il campo  $\Psi$  del nucleone: un isospinore
  - Il campo  $\Psi$  è una quantità a due componenti (uno spinore di Pauli)  $\Psi=\left[egin{array}{c} \psi_p \\ \psi_n \end{array}
    ight]$ 
    - Ciascuna delle due componenti è a sua volta uno spinore di Dirac a 4 componenti
- ullet La Lagrangiana del nucleone si riscrive tramite il campo  $\Psi$

$$\mathcal{L} = \overline{\Psi} \big( \gamma^{\mu} \partial_{\mu} + m \big) \Psi$$

• Espandendo la notazione compatta

$$\mathcal{L} = \begin{pmatrix} \overline{\psi}_p & \overline{\psi}_n \end{pmatrix} \begin{pmatrix} \gamma^{\mu} \partial_{\mu} + m & 0 \\ 0 & \gamma^{\mu} \partial_{\mu} + m \end{pmatrix} \begin{pmatrix} \psi_p \\ \psi_n \end{pmatrix}$$

### Proprietà isotopiche della corrente adronica

- La simmetria dell'isospin si introduce richiedendo l'invarianza (globale) della Lagrangiana rispetto al gruppo SU(2) nello spazio isospinoriale
  - Una trasformazione di  $\mathrm{SU}(2)$  è funzione di 3 parametri  $(\Lambda_1,\,\Lambda_2,\,\Lambda_3)$ 
    - Si può scrivere

$$\widehat{U} = \exp\left[i\widehat{A}
ight] \qquad \qquad \widehat{A} = \mathbf{\Lambda} \cdot \frac{\widehat{m{ au}}}{2} \qquad \qquad m{ au_i} \; ext{matrici di Pauli} \qquad \qquad \widehat{A}^\dagger = \widehat{A}$$

$$\hat{A} = \mathbf{\Lambda} \cdot \frac{\hat{\boldsymbol{\tau}}}{2}$$

$$\widehat{A}^{\dagger} = \widehat{A}$$

- Inoltre si ha anche invarianze per trasformazioni globali di fase
  - Nel formalismo isospinoriale

$$\Psi 
ightarrow e^{i\widehat{lpha}} \Psi \qquad \widehat{lpha} = lpha egin{pmatrix} 1 & 0 \\ 0 & 1 \end{pmatrix}$$

L'applicazione del teorema di Noether porta alla corrente conservata

$$\widehat{J}^{\mu} = \widehat{\overline{\Psi}} \gamma^{\mu} \widehat{\Psi} = \begin{pmatrix} \widehat{\overline{\psi}}_{p} & \widehat{\overline{\psi}}_{n} \end{pmatrix} \begin{pmatrix} \gamma^{\mu} & 0 \\ 0 & \gamma^{\mu} \end{pmatrix} \begin{pmatrix} \widehat{\psi}_{p} \\ \widehat{\psi}_{n} \end{pmatrix}$$

La carica conservata associata è

$$\widehat{B} = \int \widehat{\Psi}^{\dagger} \widehat{\Psi} d^3 \mathbf{r} = \int \left( \hat{\overline{\psi}}_p^{\dagger} \hat{\psi}_p + \hat{\overline{\psi}}_n^{\dagger} \hat{\psi}_n \right) d^3 \mathbf{r} \qquad \qquad \widehat{B} = \widehat{N}_p + \widehat{N}_n - \widehat{N}_{\overline{p}} - \widehat{N}_{\overline{n}}$$

$$\widehat{B} = \widehat{N}_p + \widehat{N}_n - \widehat{N}_{\overline{p}} - \widehat{N}_{\overline{n}}$$

 La conservazione di guesta carica esprime la conservazione del numero barionico